海面ブラッグ反射の フルウェーブ電磁界シミュレーション

TAT

東京農工大学^{*1} 琉球大学^{*2} 小林 寛希^{*1} 宇野 亨^{*1} 藤井 智史^{*2} 有馬 卓司^{*1}

背景·目的 電磁界解析手法

- ·FDTD法
- ·MR-FDTD法

特異なスペクトルが生じる条件

シミュレーションモデル・手順

計算結果

背景·目的

電磁界解析手法

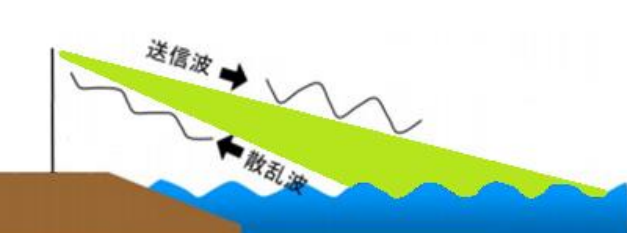
- ·FDTD法
- ·MR-FDTD法

特異なスペクトルが生じる条件

シミュレーションモデル・手順

計算結果

背景·目的



特定の条件下でドップラースペクトルのピーク位置が 計算によって求まる位置と異なって計測される



シミュレーションを用いて 海面で起きている現象を明らかにする

代表的な電磁界解析手法

- ·FDTD法···複雑な形状の解析も出来る
- •FEM •・・複雑な形状の解析に適しているが大規模な解析には向いていない
- -MoM · · · 誘電体などの解析には向いていない

MR-FDTD法

波源と散乱体が離れている場合、その間を省いて計算することが出来る



効率的な解析が可能

背景·目的

電磁界解析手法

- ·FDTD法
- ·MR-FDTD法

特異なスペクトルが生じる条件 シミュレーションモデル・手順 計算結果 まとめ

FDTD法

マクスウェルの方程式を時間、および 空間について差分化をして電磁界を解 析する



$$\mathbf{E}^{n} = \frac{1 - \sigma \Delta t / 2\varepsilon}{1 + \sigma \Delta t / 2\varepsilon} \mathbf{E}^{n-1} + \frac{\Delta t / \varepsilon}{1 + \sigma \Delta t / 2\varepsilon} \nabla \times \mathbf{H}^{n-\frac{1}{2}}$$

$$\mathbf{H}^{n+\frac{1}{2}} = \mathbf{H}^{n-\frac{1}{2}} - \frac{\Delta t}{\mu} \nabla \times \mathbf{E}^{n}$$

あるセルの電界値の計算

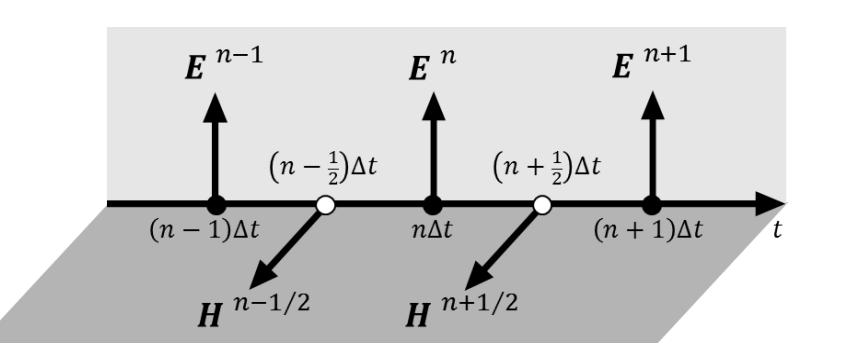


1タイムステップ前の電界、その場所の磁界のローテーション

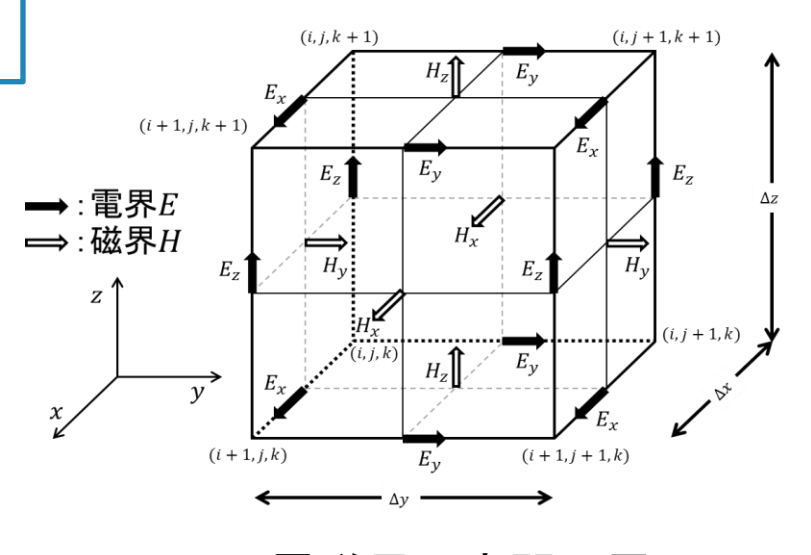
あるセルの磁界の計算



1タイムステップ前の磁界、その場所の電界のローテーション



電磁界の時間配置



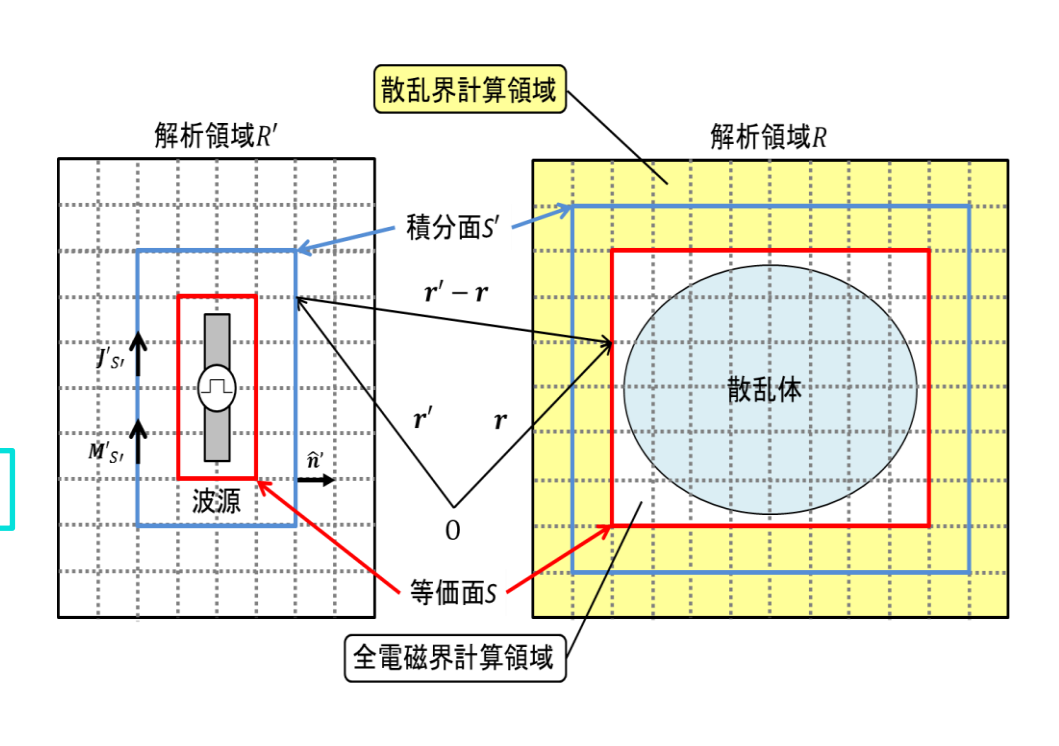
電磁界の空間配置

MR-FDTD法

海洋レーダは数十キロメートル先まで 海流の速度を計算することが出来る

通常のFDTD法でシミュレーションを行うと、計算コストが膨大になる

MR-FDTD法を用いて計算コストを削減



計算手順

領域R'の遠方界から、領域R'の等価面の電界を計算



領域R'の等価面に求めた電界を入力し、領域R'の遠方界から領域Rの等価面の電界を計算



領域Rの等価面に求めた電界を入力し、アンテナの受信電圧 を計算

背景·目的 電磁界解析手法

- ·FDTD法
- ·MR-FDTD法

特異なスペクトルが生じる条件

シミュレーションモデル・手法

計算結果

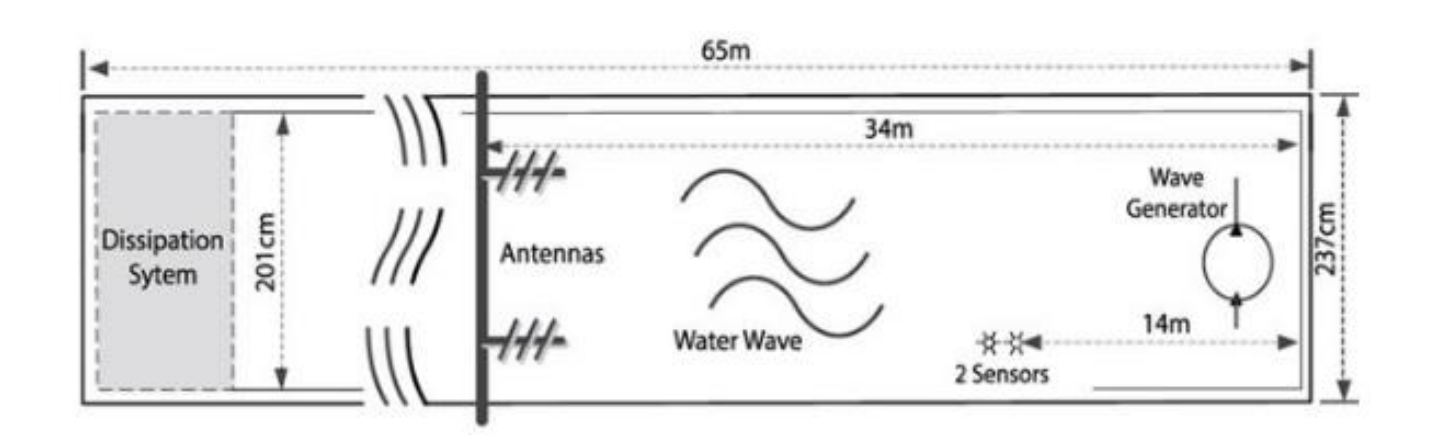
特異なスペクトルが生じる条件

ブラッグ散乱は電波の半波長の海上の波から生じる

その海上の波の整数倍からの波からも強い散乱が生じる

整数倍の海面波からドップラースペクトルを計算する実験

*340[MHz]の電波を用い、水槽内に発生させた波からの散乱波 を測定



^{*}Biyang Wen, Ke Li "Frequency shift of the Bragg and Non-Bragg backscattering from periodic water wave", Scientific Reports Vol.6, 2016

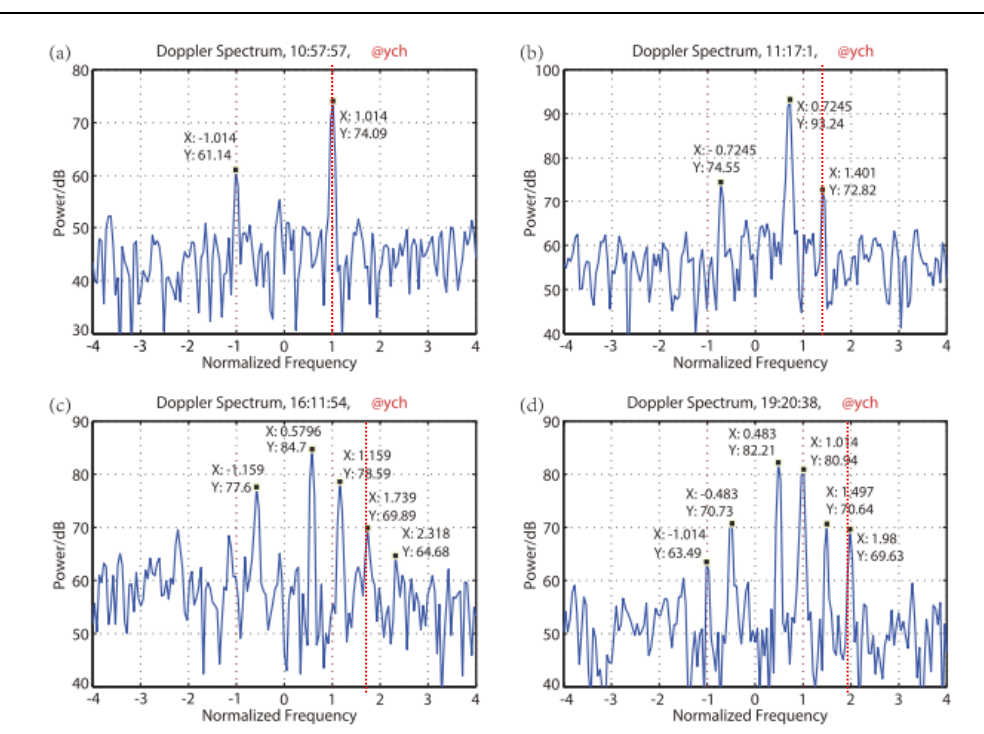
実験による測定結果

電波の波長を $2\lambda_B$, このときのドップラー周波数を f_B としたとき

海面の波長 (a)λ_B, (b)2λ_B, (c)3λ_B, (d)4λ_B



本来生じない周波数でピークが表れている



波長λ _B	λ_{B}	2λ _B	$3\lambda_{B}$	4λ _B
計算で求まる ドップラー周波数f _D	1.00f _B	1.41f _B	1.73f _B	1.99f _B
計算値と一致するドップラ―周波数	1.014f _B	1.401f _B	1.739f _B	1.98f _B
その他の ドップラー周波数		0.7245f _B	0.5796f _B 1.159f _B 2.318f _B	0.483f _B 1.014f _B 1.497f _B

背景·目的 電磁界解析手法

- ·FDTD法
- ·MR-FDTD法

特異なスペクトルが生じる条件

シミュレーションモデル・手法

計算結果

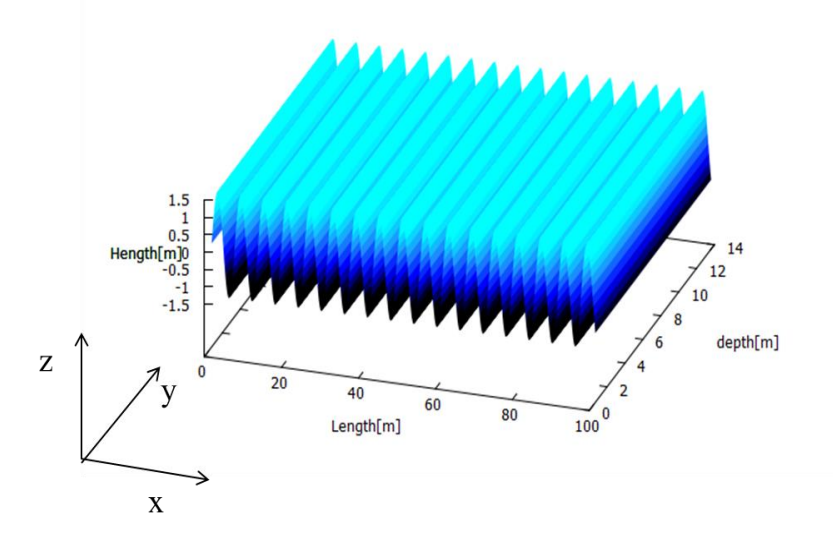
海面モデルの作成

海の波は波動方程式に従って動く

$$\frac{\partial^2}{\partial t^2}u(x,t) = c\frac{\partial^2}{\partial x^2}u(x,t)$$

差分化し、書き換えると

$$U_j^{n+1} = 2U_j^n - U_j^{n-1} + c\left(\frac{\Delta t}{\Delta x}\right)^2 \left(U_{j+1}^n - 2U_j^n + U_{j-1}^n\right)$$



24.5MHzの電波を用いると, ブラッグ散乱を起こす波の波長λ_B=6.21m, 位相速度c=3.07m/s

海面の波長を整数倍し、位相速度を求め4種類の海面のデータを作成

波長	λ_{B}	$2\lambda_{B}$	$3\lambda_{B}$	4λ _B
振幅[m]	1.0	2.0	3.0	4.0
位相速度c[m/s]	3.07	4.36	5.33	6.16
ドップラー周波数f _B [Hz]	0.52	0.71	0.87	1.01

シミュレーションの手順

海面の速度と電磁波の速度が大きく異なる



シミュレーション上で海の動きを再現することが困難

電波の送受信の間は海面は 動かないと設定

計算手順

海面のデータをシミュレーション に組み込む



電波の送受信を行い、海面からの散乱波の計算



FFT

距離毎の信号強度を計算



海面のデータを0.25秒間進める

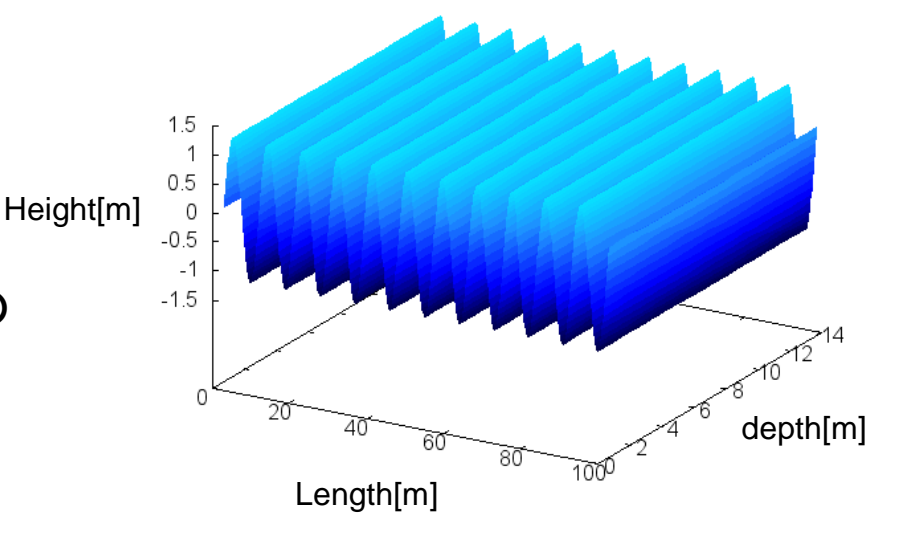


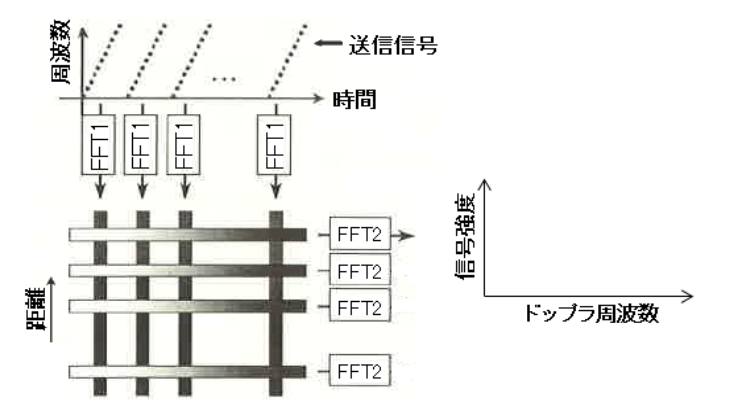
距離毎の信号強度の時系列



並び替え,FFT

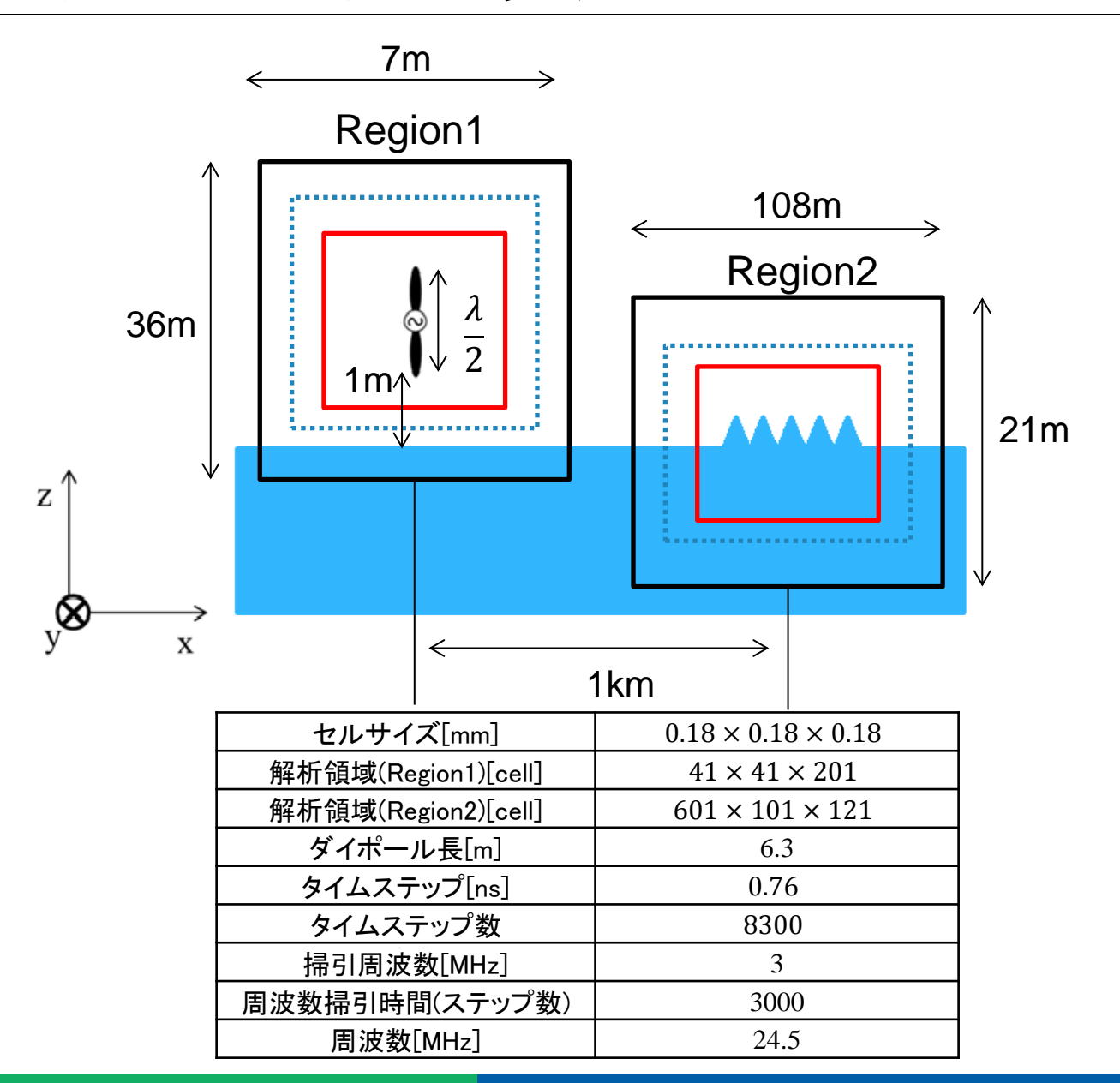
ドップラスペクトルの計算





13

シミュレーションモデル



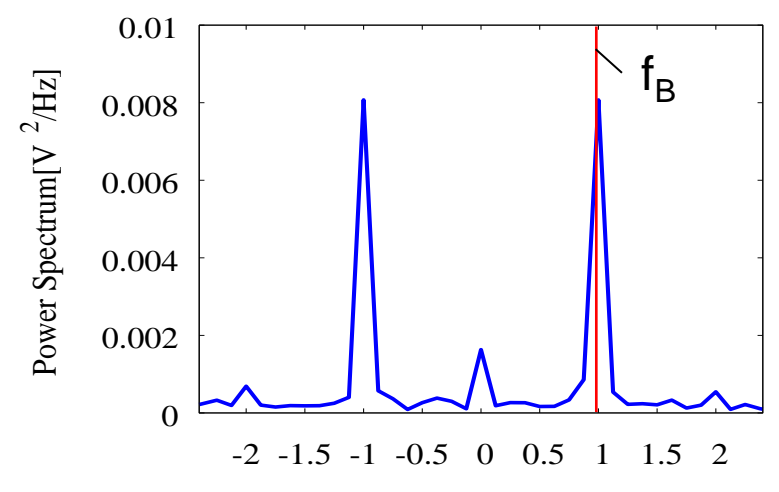
背景·目的 電磁界解析手法

- ·FDTD法
- ·MR-FDTD法

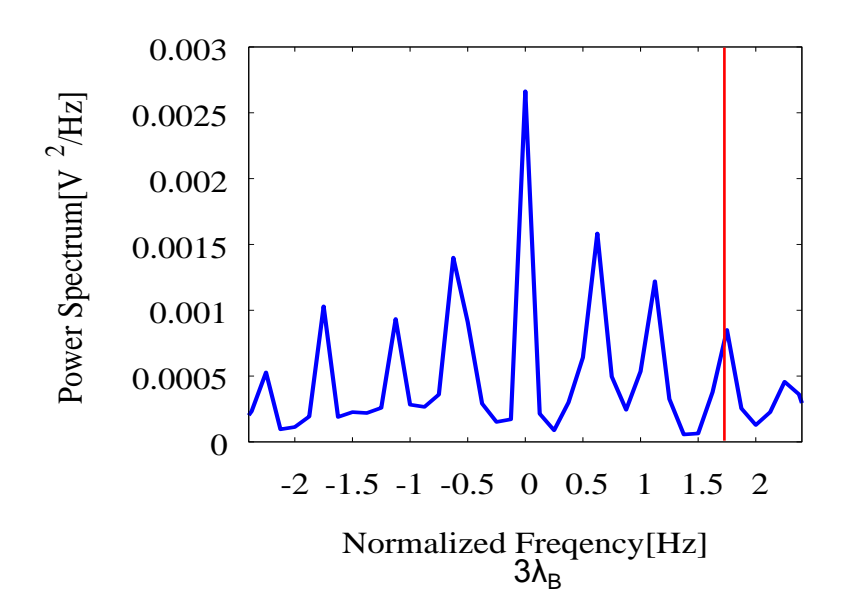
特異なスペクトルが生じる条件 シミュレーションモデル・手法

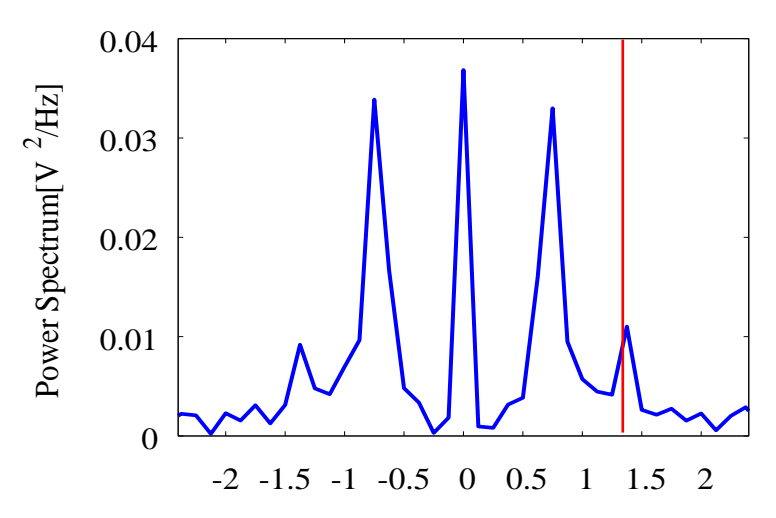
計算結果

ドップラースペクトルの計算結果

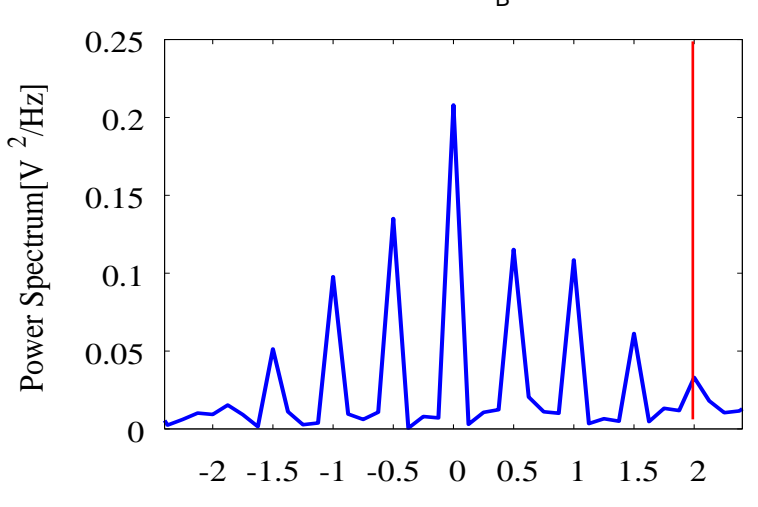


Normalized Frequency[Hz] 海面の波長A_B





Normalized Freqency[Hz]
2λ_B



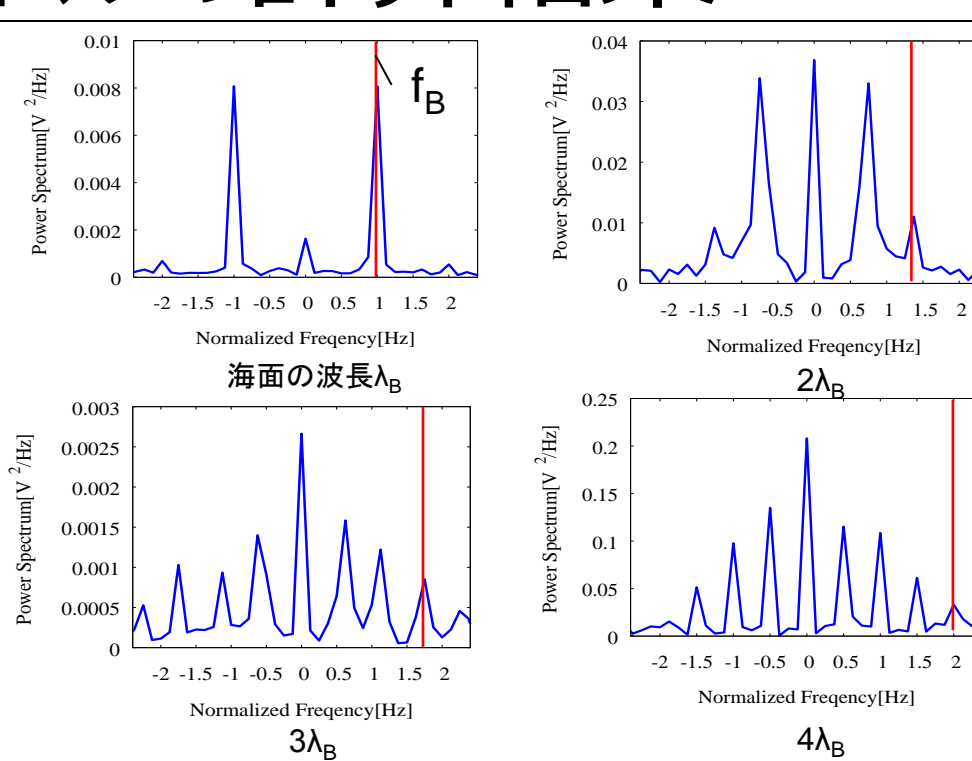
Normalized Frequency[Hz] $4\lambda_B$

ドップラースペクトルの計算結果

ピークが計算値以外の周波数でも表れる



ピークが表れる周波数が実験とシミュ レーションで一致している



海上の波の波長	λ_{B}	2λ _B	$3\lambda_{B}$	4λ _B
ドップラー周波数 の計算値	1.00f _B	1.41f _B	1.73f _B	1.99f _B
計算値と一致するドップラー周波数	1.00f _B	1.38f _B	1.75f _B	2.00f _B
その他の ドップラー周波数		0.75f _B	0.63f _B 1.13f _B 2.25f _B	0.50f _B 1.00f _B 1.50f

電流値の計算

なぜドップラースペクトルの位置が計算値とずれるのか



シミュレーションで海面表面の電流から考察

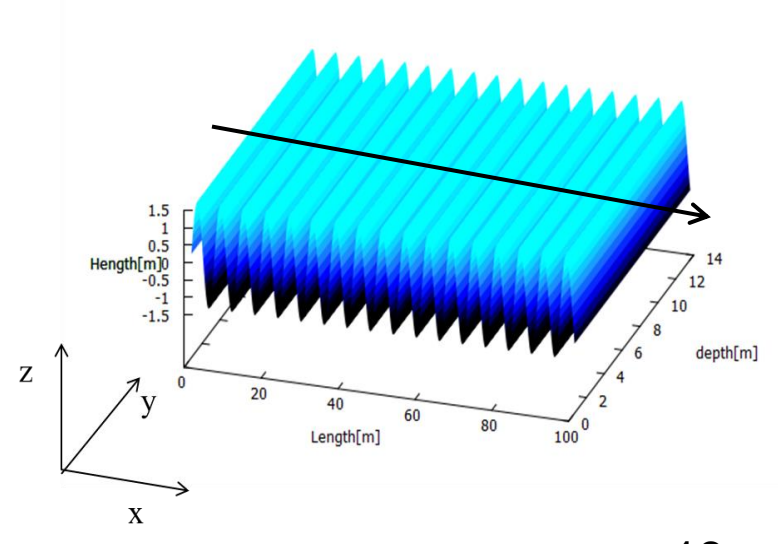
海面表面の電流値は、海面の表面に一番近い セルの電界値を用いて

$$J = \sigma E + j\omega(\varepsilon_r - 1)E$$

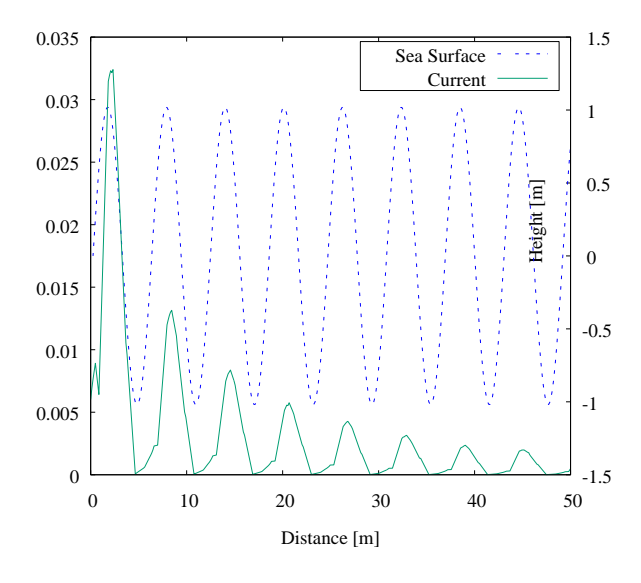
x軸方向に海上の波に沿うように 各地点の電流の実効値を計算

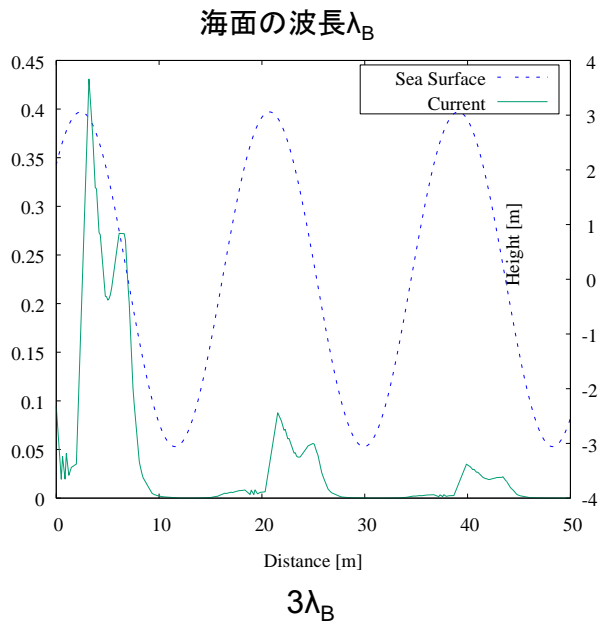


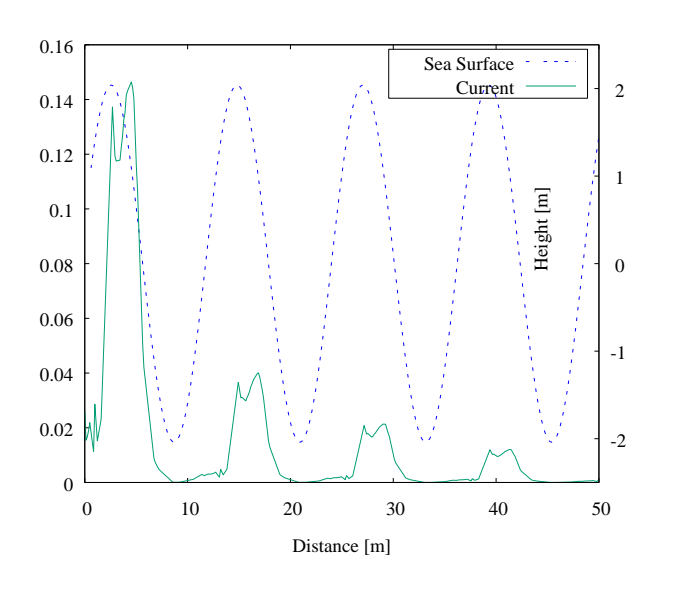
海面の高さと比較

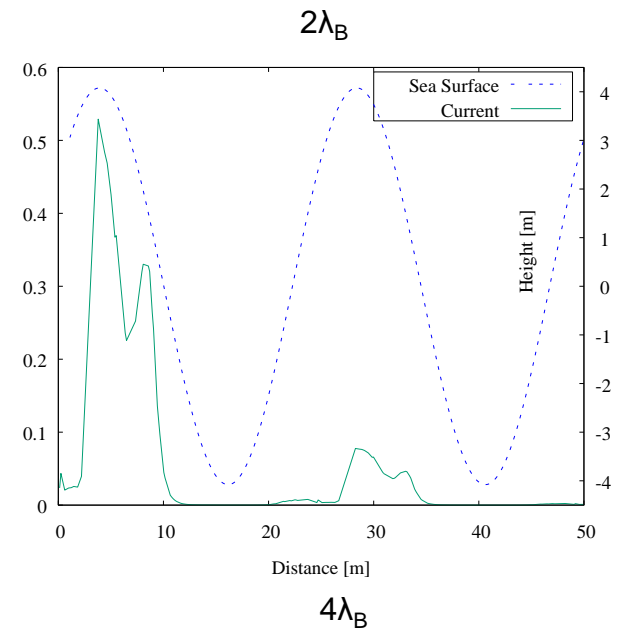


海表面の電流値









海表面の電流値

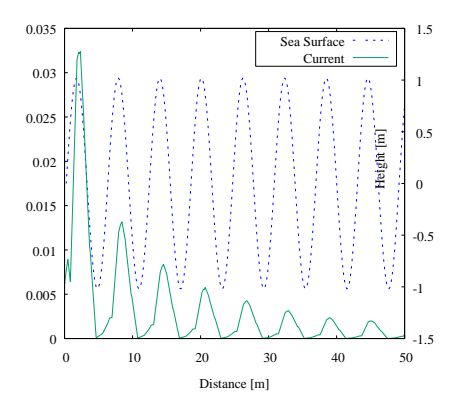
- ・海上の波に従って値が変化
- ・波のピークの位置で電流値がピークとなっている



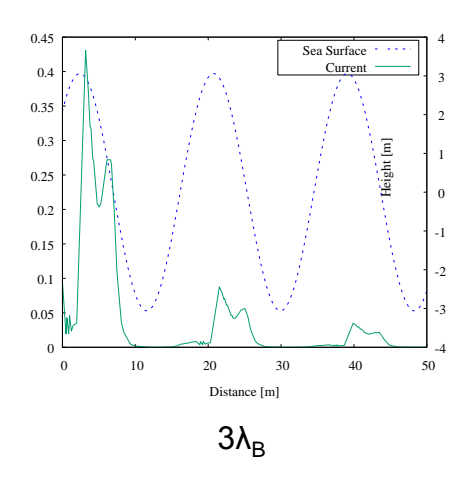
海上の波が電波の半波長の整数倍 その他の位置でピークが生じる

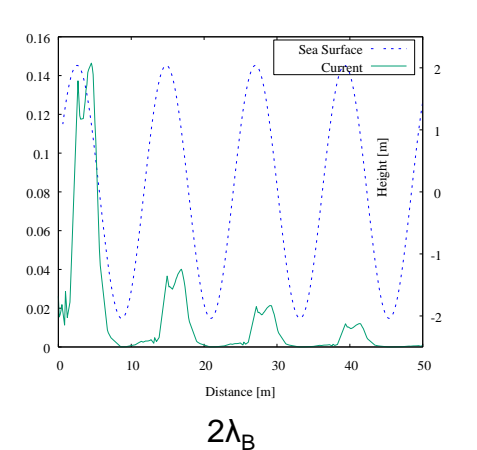


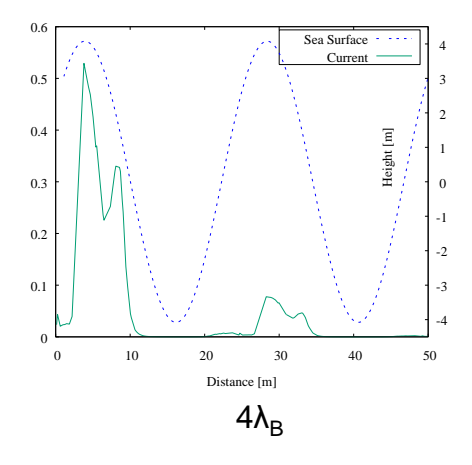
- ・一周期の海上の波の場合このよう なピークは発生しない
- ・奥側の波からの影響



海面の波長λΒ







電流の時系列データの計算

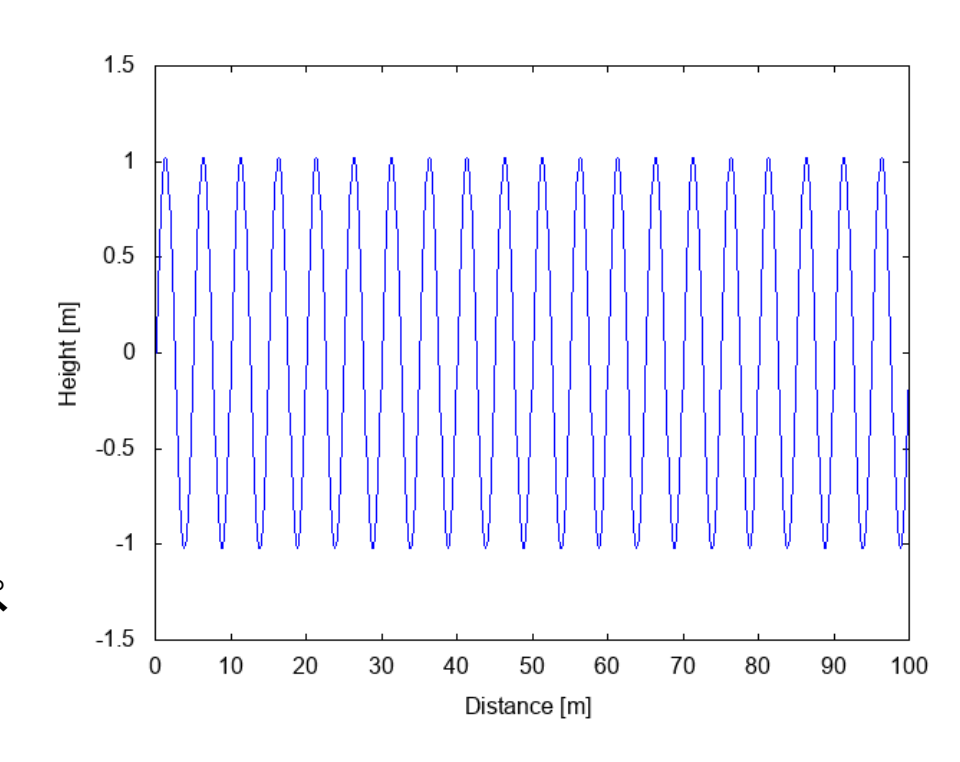
海上の波の山の部分の実効値を計算



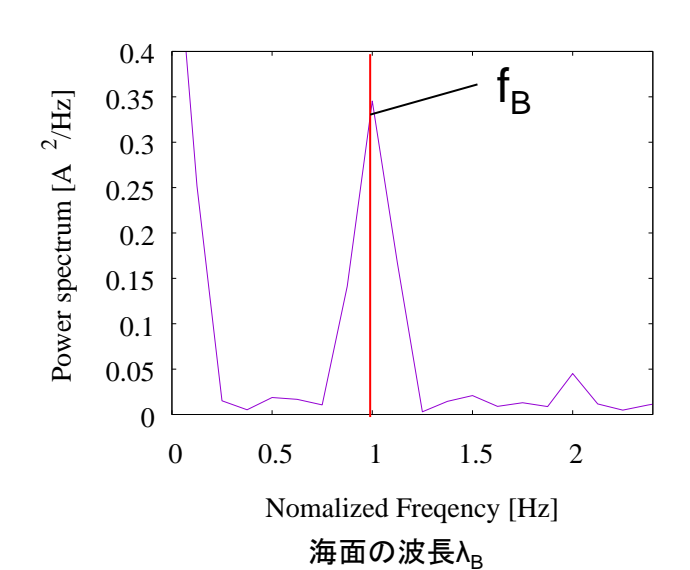
64回繰り返し計算を行い、時系列データ を計算

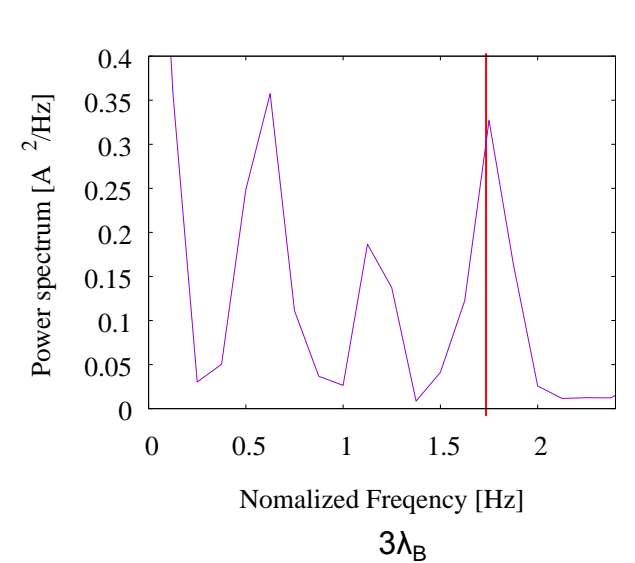


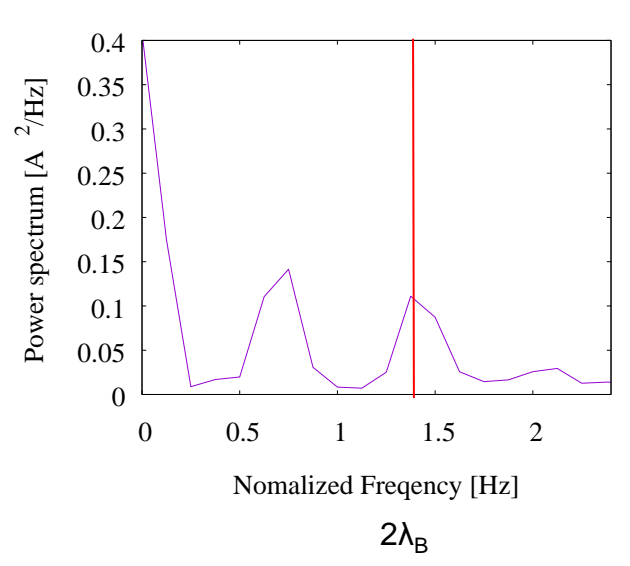
フーリエ変換し、電流の実効値の周波数スペクトルを計算

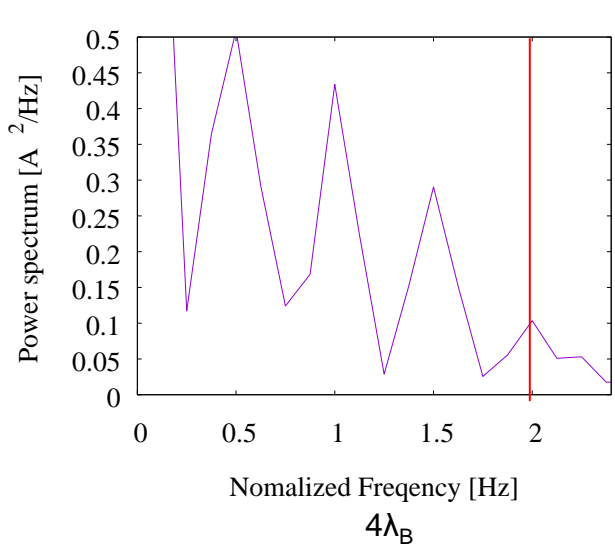


電流値の周波数スペクトル









電流値の周波数スペクトル

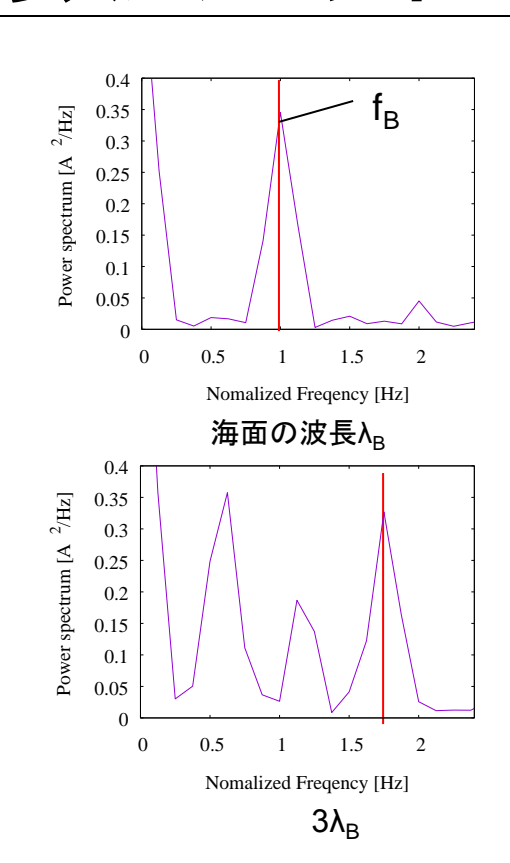
ドップラースペクトルのピークと一致 する周波数でピークが表れている

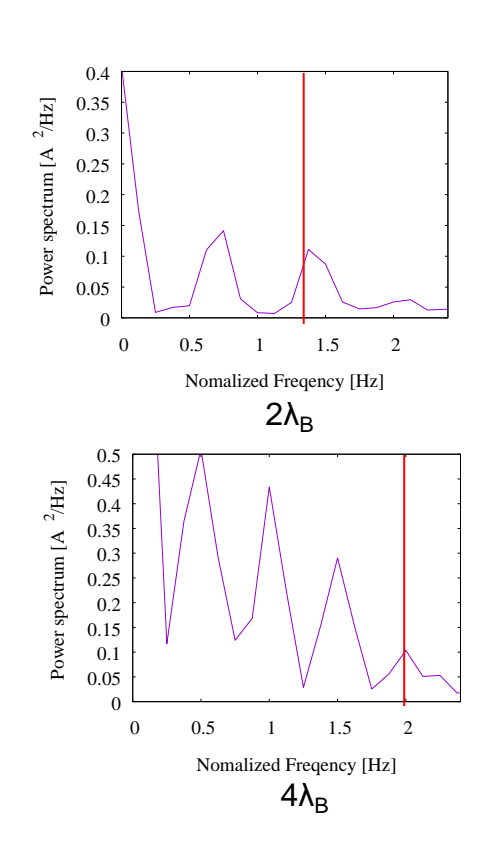


- ・海上の波の波長が電波の半波長の場合、計算値のドップラー周波数と一致する周波数成分
- ・整数倍した場合、それ以外の周波 数成分が表れる



・奥の波からの後方散乱、波と波の間で生じる多重反射の影響





背景·目的 電磁界解析手法

- ·FDTD法
- ·MR-FDTD法

特異なスペクトルが生じる条件

シミュレーションモデル・手法

計算結果

まとめ

- ・MR-FDTD法を用いて、海上の波が電波の半波長の整数倍の場合のドップラースペクトルの計算を行った
- ・実験の結果と同様に、スペクトルのピークが計算値とずれた周波数で検出された



- ・原因の考察のため、海面表面の電流値を計算
- ・海上の波の波長を整数倍すると、電流値のピークが海面のピーク以外で も表れる
- ・電流値が計算値のドップラー周波数以外の周波数を含む
- ・電流値の周波数スペクトルのピークがドップラースペクトルのピーク周波 数と一致



海上の波からの後方散乱、波と波の間で生じる多重反射の影響